

Inducción experimental transplacentaria y neonatal de tumores nerviosos a ratas Wistar con etilnitrosourea

Teresa Ribalta Farrés

ADVERTIMENT. La consulta d'aquesta tesi queda condicionada a l'acceptació de les següents condicions d'ús: La difusió d'aquesta tesi per mitjà del servei TDX (www.tesisenxarxa.net) ha estat autoritzada pels titulars dels drets de propietat intel·lectual únicament per a usos privats emmarcats en activitats d'investigació i docència. No s'autoritza la seva reproducció amb finalitats de lucre ni la seva difusió i posada a disposició des d'un lloc aliè al servei TDX. No s'autoritza la presentació del seu contingut en una finestra o marc aliè a TDX (framing). Aquesta reserva de drets afecta tant al resum de presentació de la tesi com als seus continguts. En la utilització o cita de parts de la tesi és obligat indicar el nom de la persona autora.

ADVERTENCIA. La consulta de esta tesis queda condicionada a la aceptación de las siguientes condiciones de uso: La difusión de esta tesis por medio del servicio TDR (www.tesisenred.net) ha sido autorizada por los titulares de los derechos de propiedad intelectual únicamente para usos privados enmarcados en actividades de investigación y docencia. No se autoriza su reproducción con finalidades de lucro ni su difusión y puesta a disposición desde un sitio ajeno al servicio TDR. No se autoriza la presentación de su contenido en una ventana o marco ajeno a TDR (framing). Esta reserva de derechos afecta tanto al resumen de presentación de la tesis como a sus contenidos. En la utilización o cita de partes de la tesis es obligado indicar el nombre de la persona autora.

WARNING. On having consulted this thesis you're accepting the following use conditions: Spreading this thesis by the TDX (www.tesisenxarxa.net) service has been authorized by the titular of the intellectual property rights only for private uses placed in investigation and teaching activities. Reproduction with lucrative aims is not authorized neither its spreading and availability from a site foreign to the TDX service. Introducing its content in a window or frame foreign to the TDX service is not authorized (framing). This rights affect to the presentation summary of the thesis as well as to its contents. In the using or citation of parts of the thesis it's obliged to indicate the name of the author.

R. 194.504

INDUCCION TRANSPLACENTARIA Y NEONATAL
DE TUMORES NERVIOSOS EN RATAS WISTAR
CON ETILNITROSOUREA

T E S I S D O C T O R A L

TERESA M. RIBALTA FARRES

DIRECTOR: PROF. DR. A. CARDESA

FACULTAD DE MEDICINA
UNIVERSIDAD DE BARCELONA

JULIO 1985

Fig.73:

Corte longitudinal y medio de la médula espinal. A ambos lados se observan raíces nerviosas con cambios proliferativos incipientes.

Fig.74:

Superficie lateral de la médula espinal del caso anterior. Existe una infiltración tumoral meníngea de grado moderado.

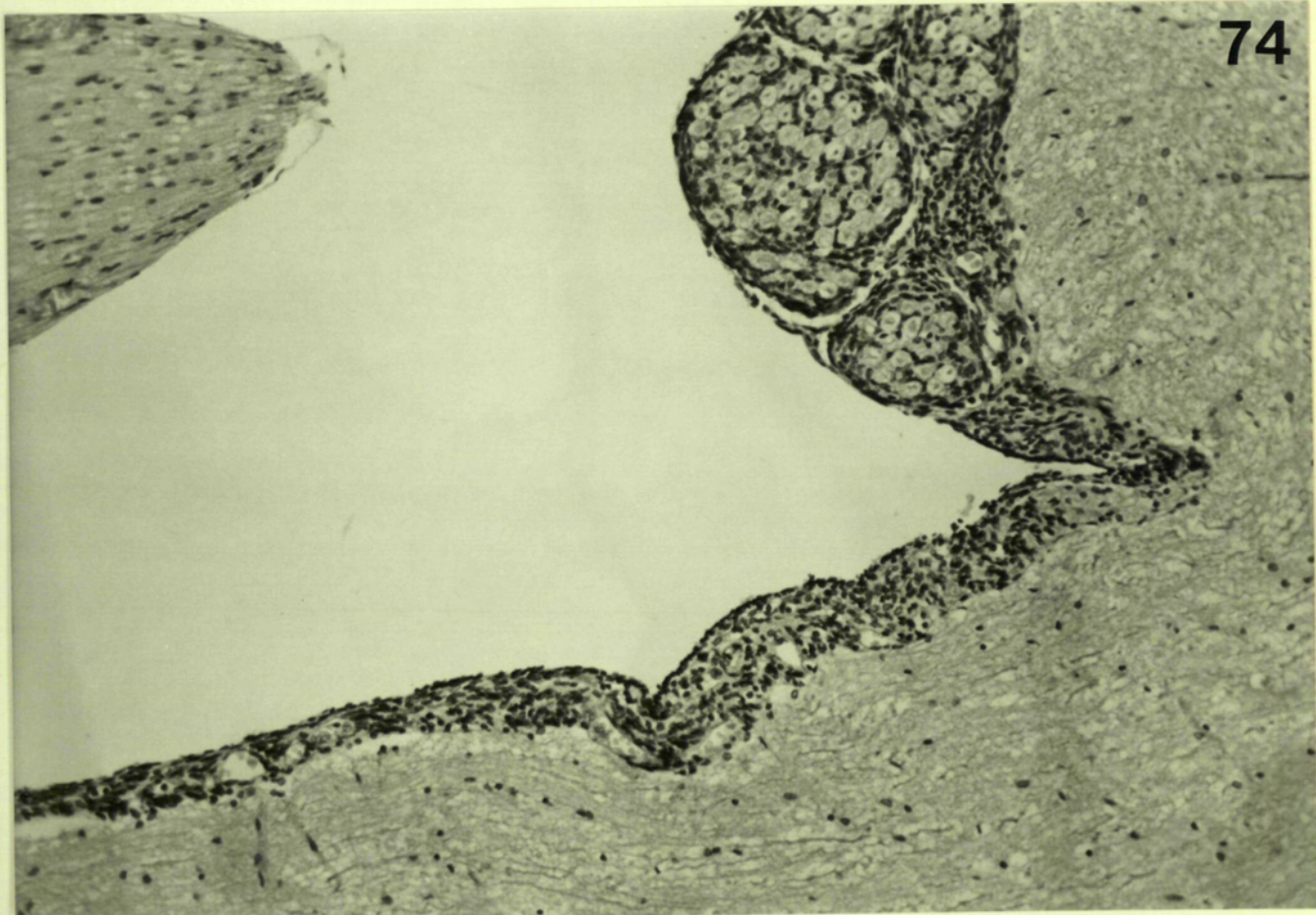


Fig.75:

Infiltración de los tejidos peritraqueales por un tumor nervioso periférico.

Fig.76:

Englobamiento de una arteria pulmonar principal por un tumor nervioso mediastínico.

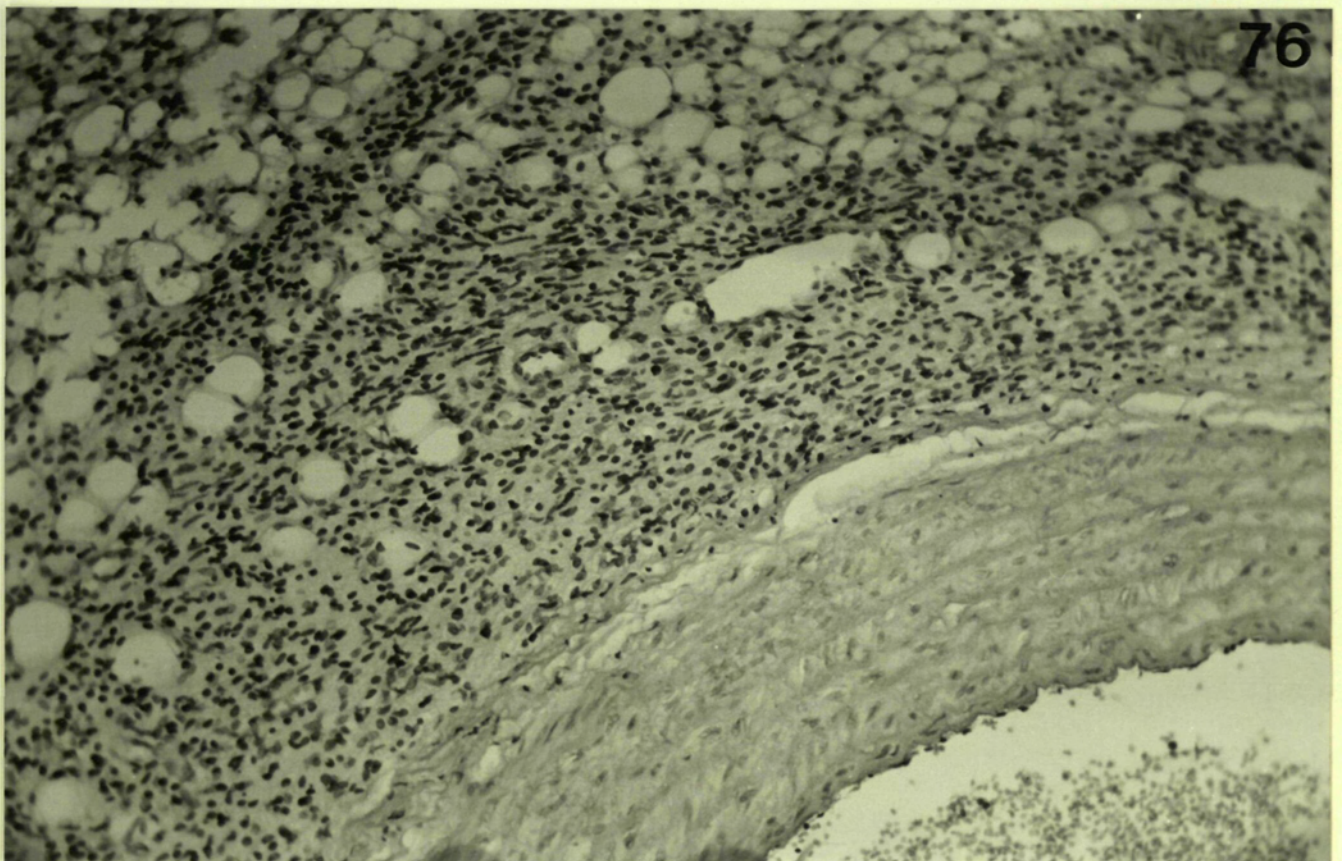
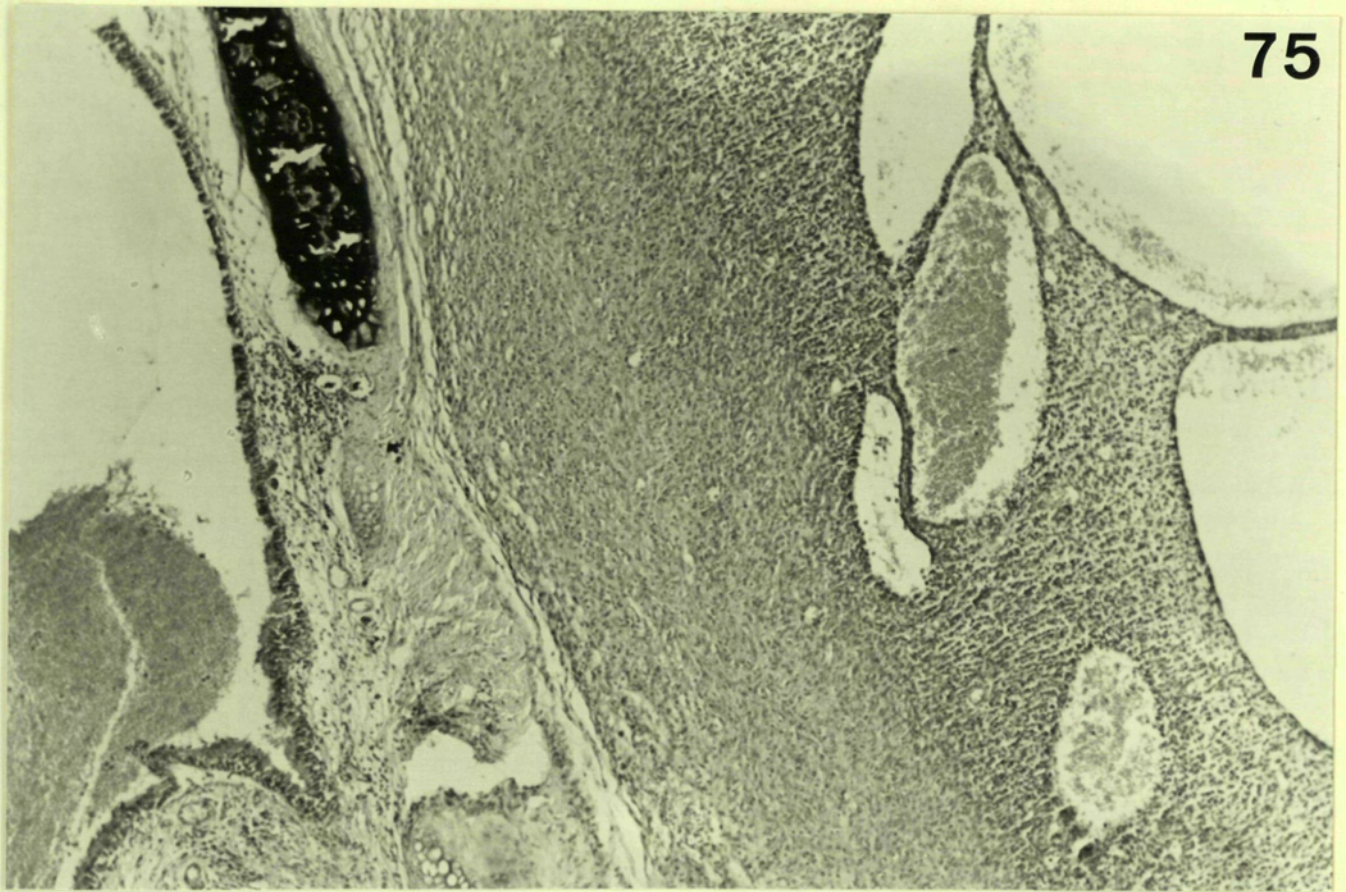


Fig.77:

Infiltración cardíaca por un tumor fusocelular de histogénesis incierta.

Fig.78:

Detalle de una zona infiltrativa del miocardio por el tumor mencionado.

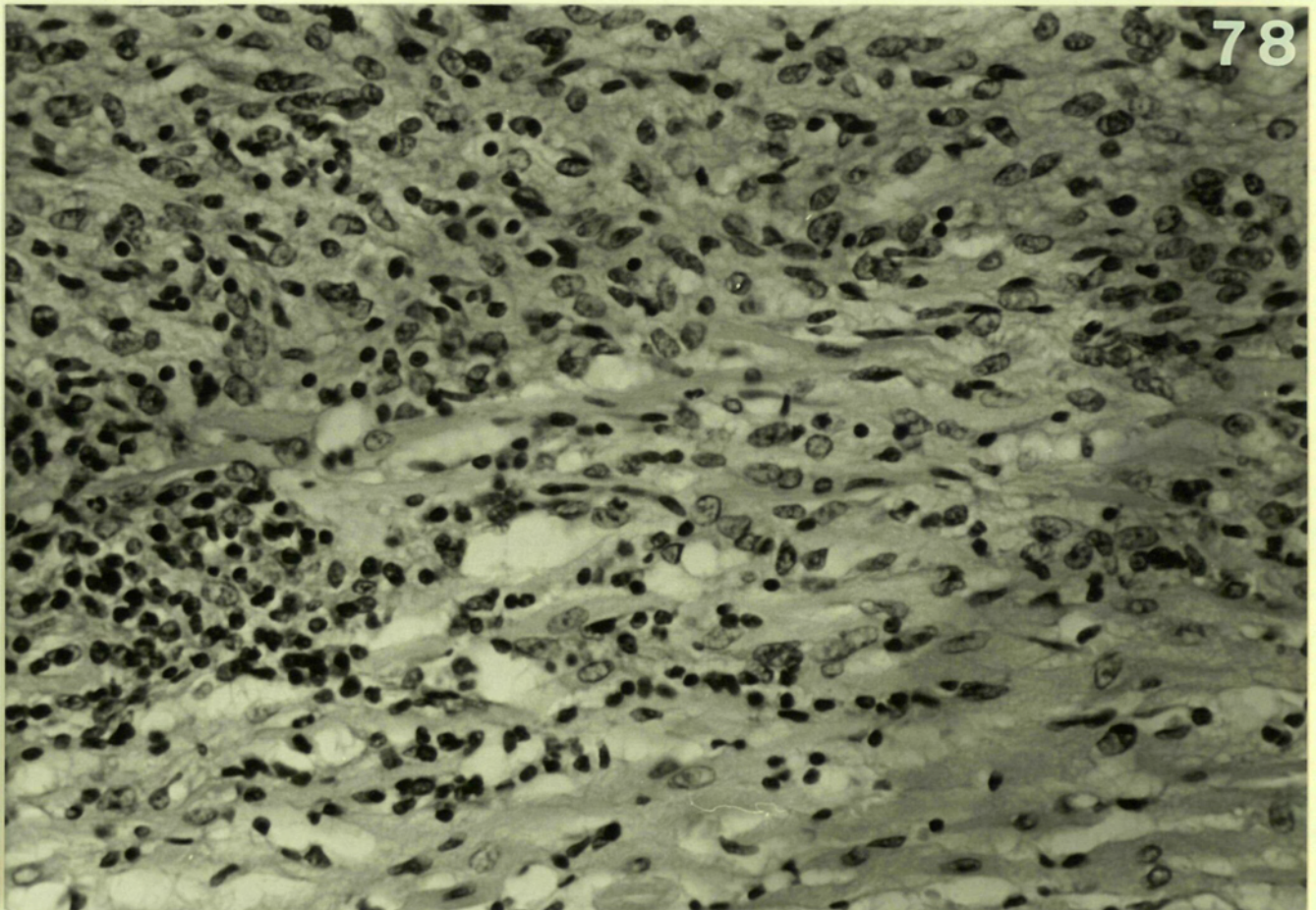
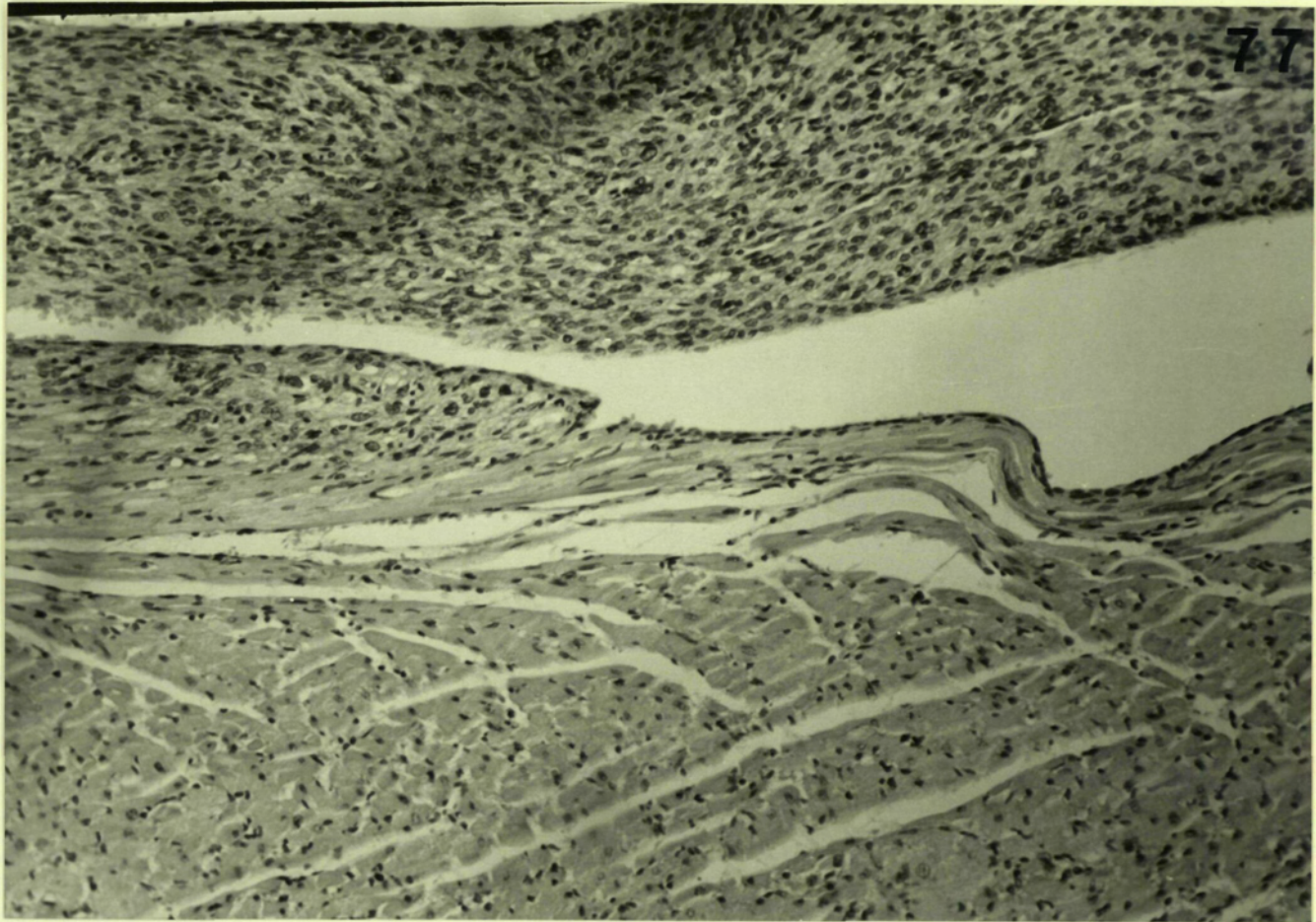


Fig.79

Fig.80:

Aspecto citológico de las células tumorales del tu
mor cardíaco. Existe un marcado pleomorfismo celular y
figuras de mitosis atípicas.



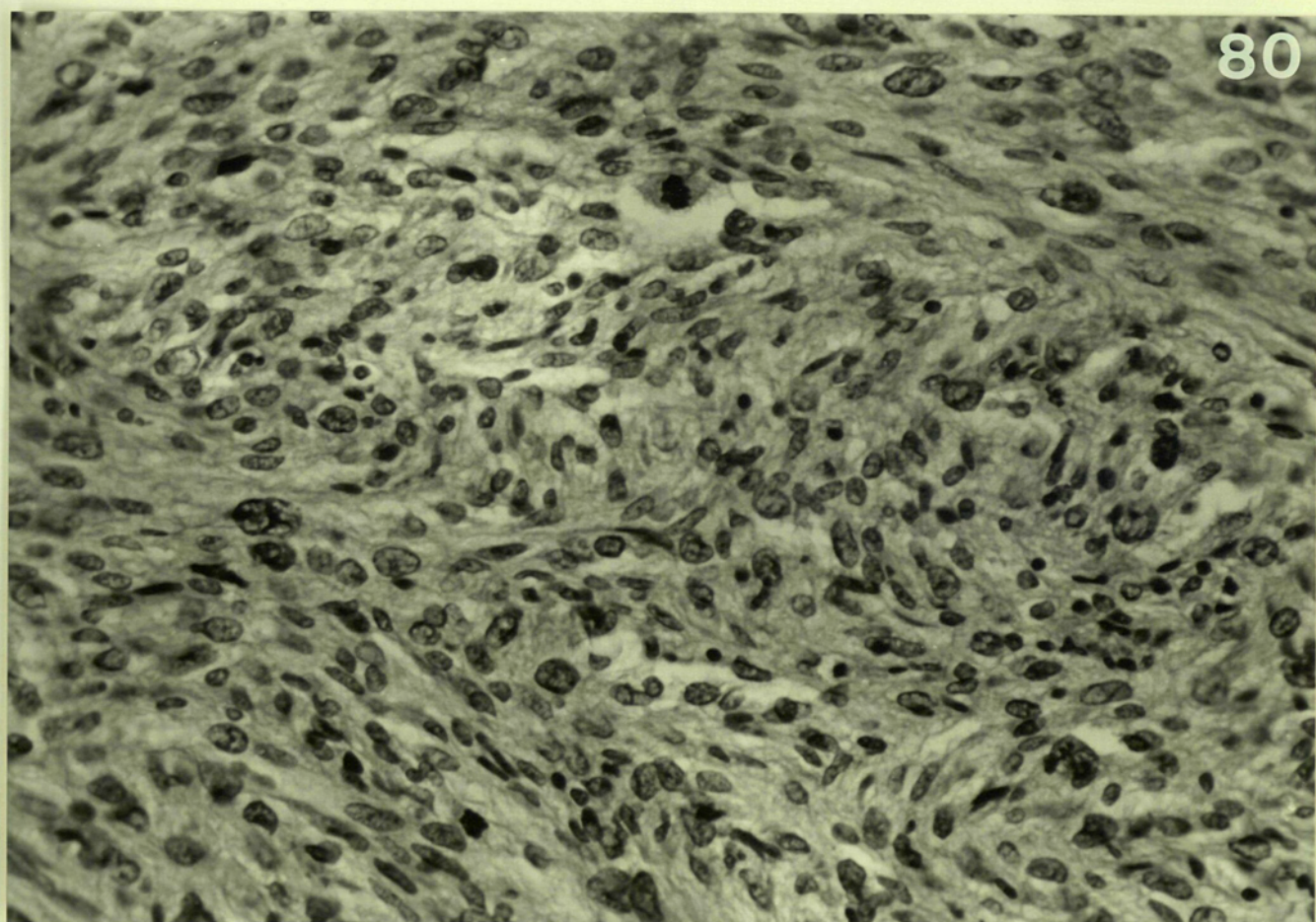
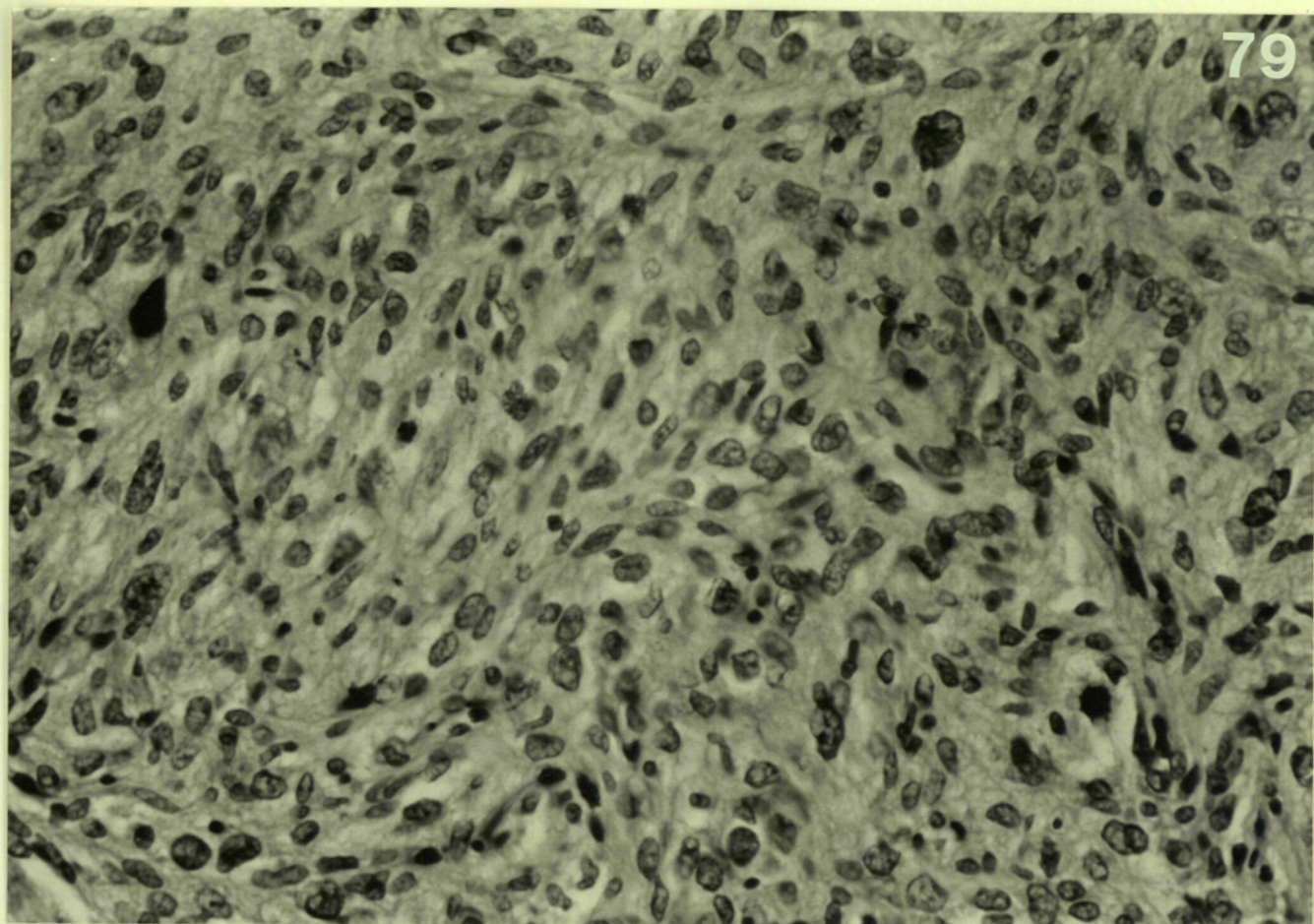


Fig.81:

Mucosa y submucosa gástricas infiltradas por un tumor fusocelular de baja agresividad local, que recuerda a los tumores nerviosos periféricos.

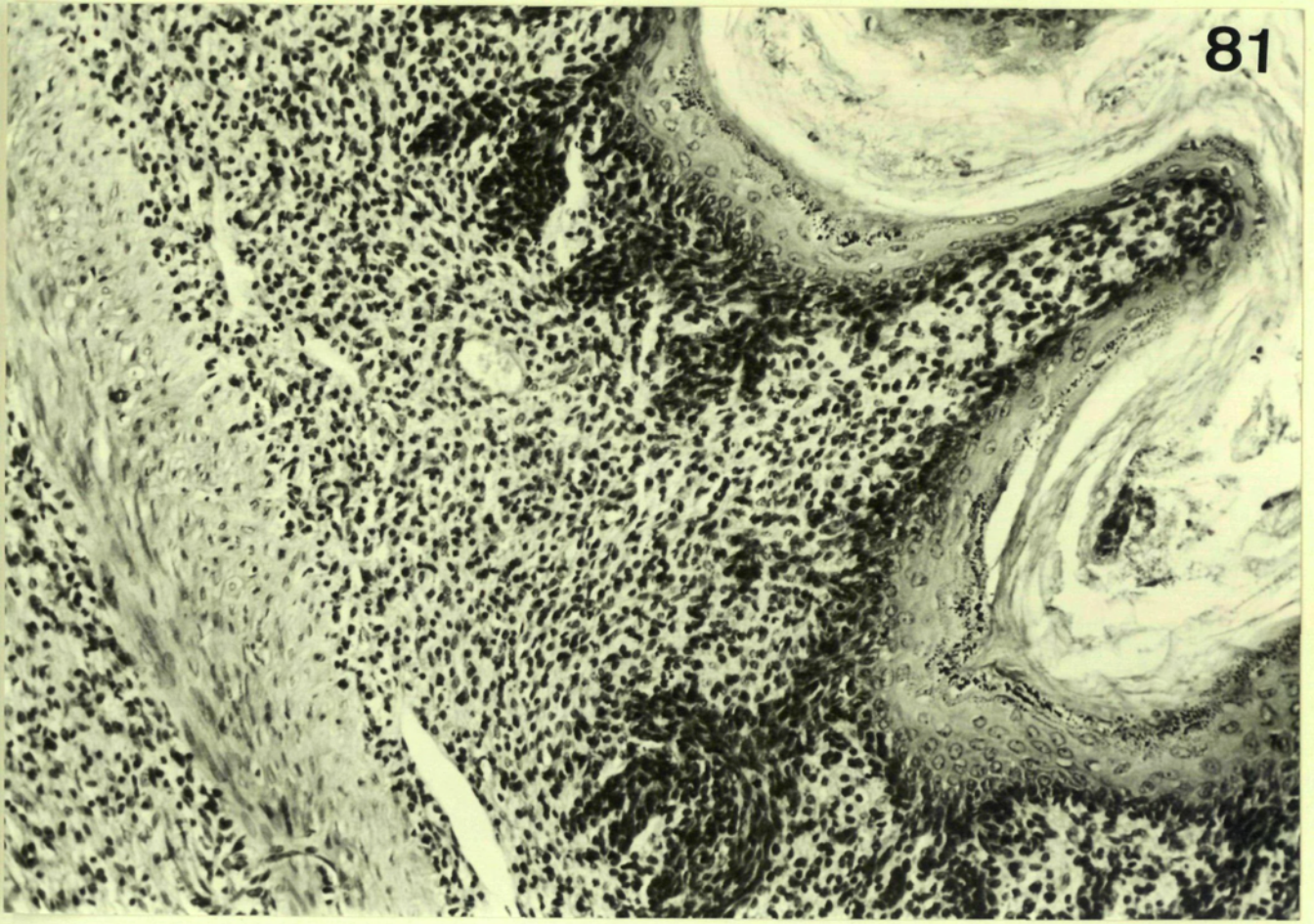


Fig.82:

Tumor nervioso periférico del V par craneal con estructuras plexiformes. Nótese el prominente espacio que las separa del resto de la tumoración.

Fig.83:

Imagen parcial de una estructura plexiforme de grandes proporciones. El aspecto morfológico básico es el de un tronco nervioso seccionado transversalmente, infiltrado por células similares a las del tumor circundante.

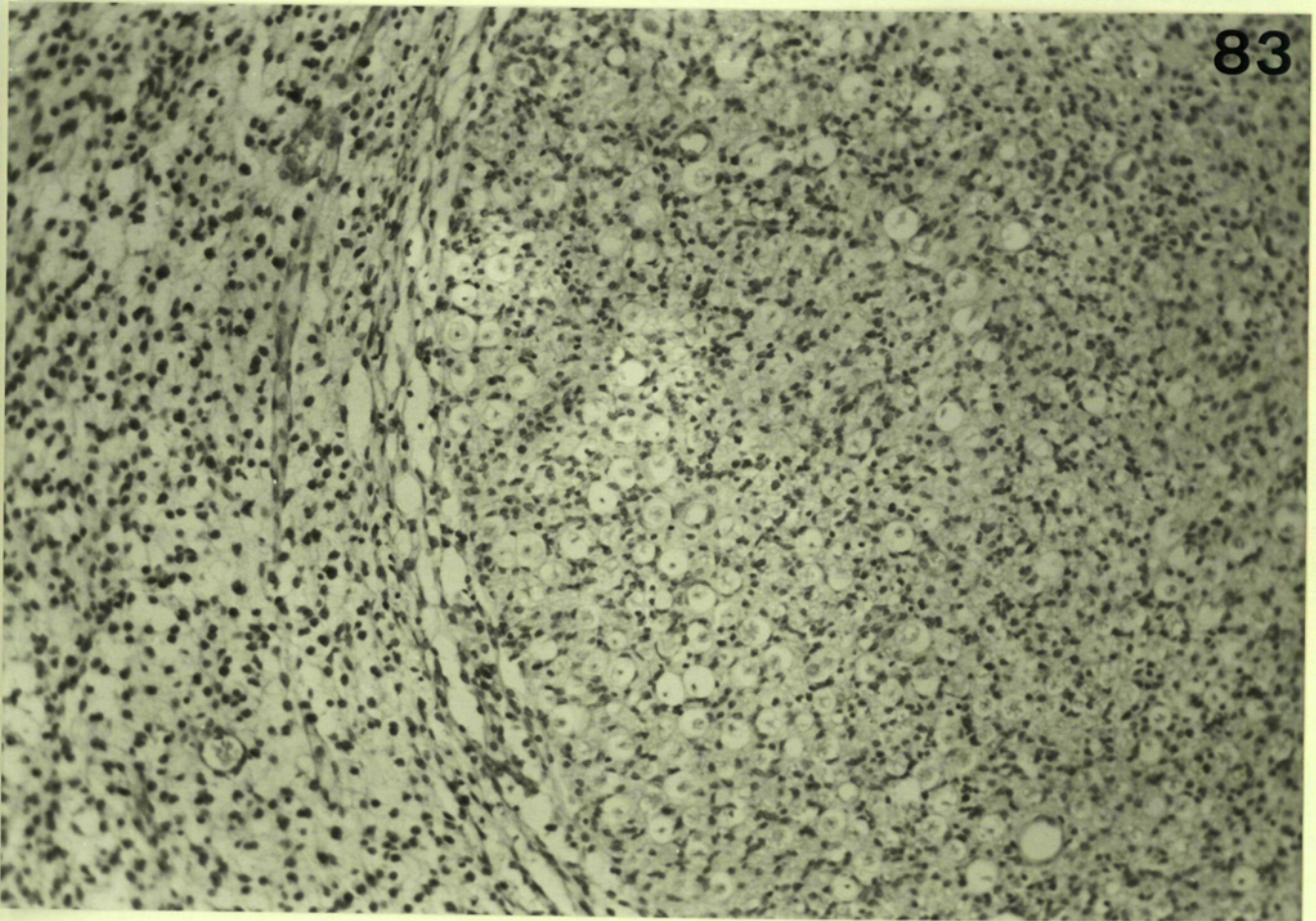
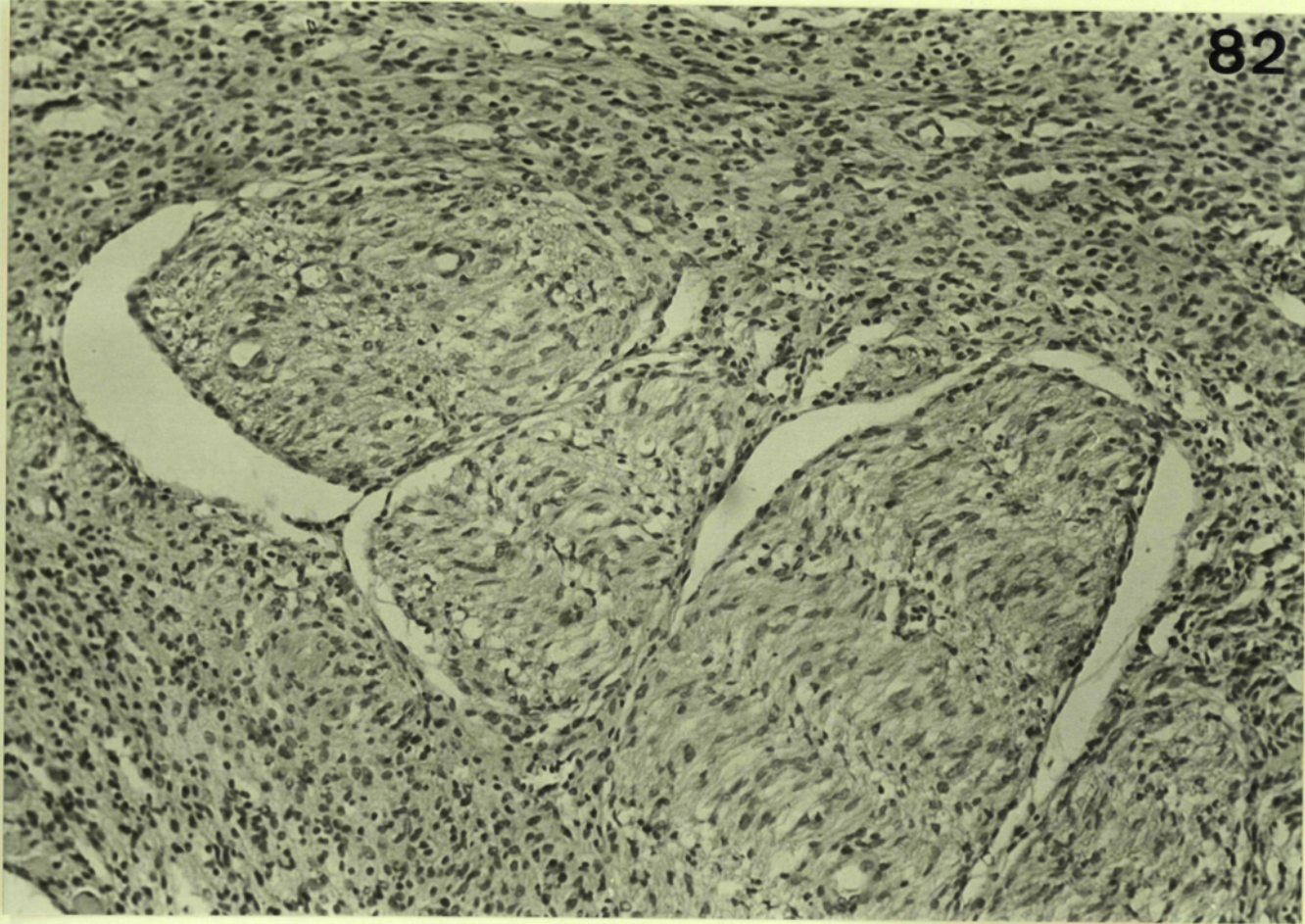


Fig.84:

Dos estructuras plexiformes en el seno de un tumor retroperitoneal morfológicamente agresivo.

Fig.85:

Detalle de una estructura plexiforme del caso anterior.

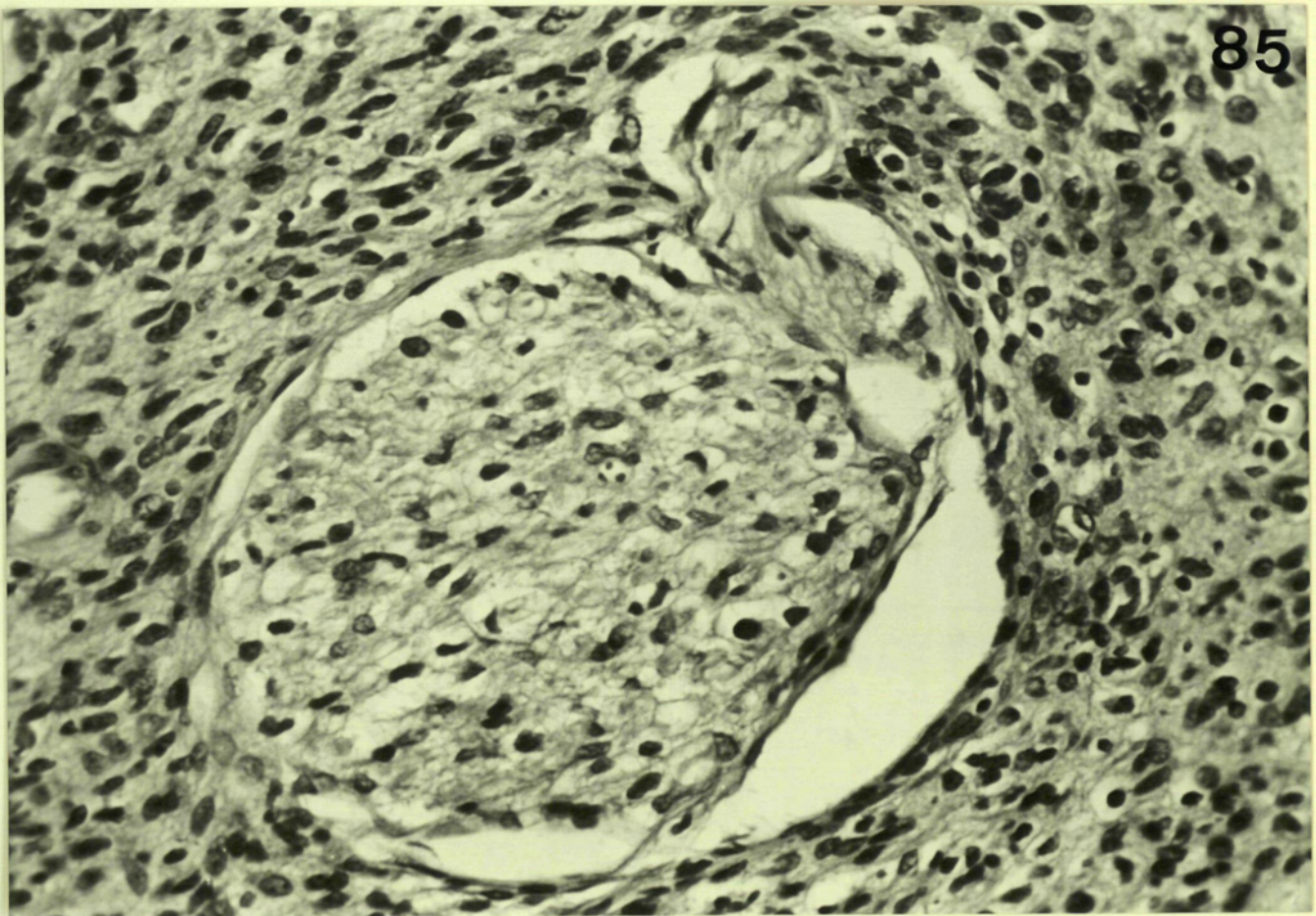
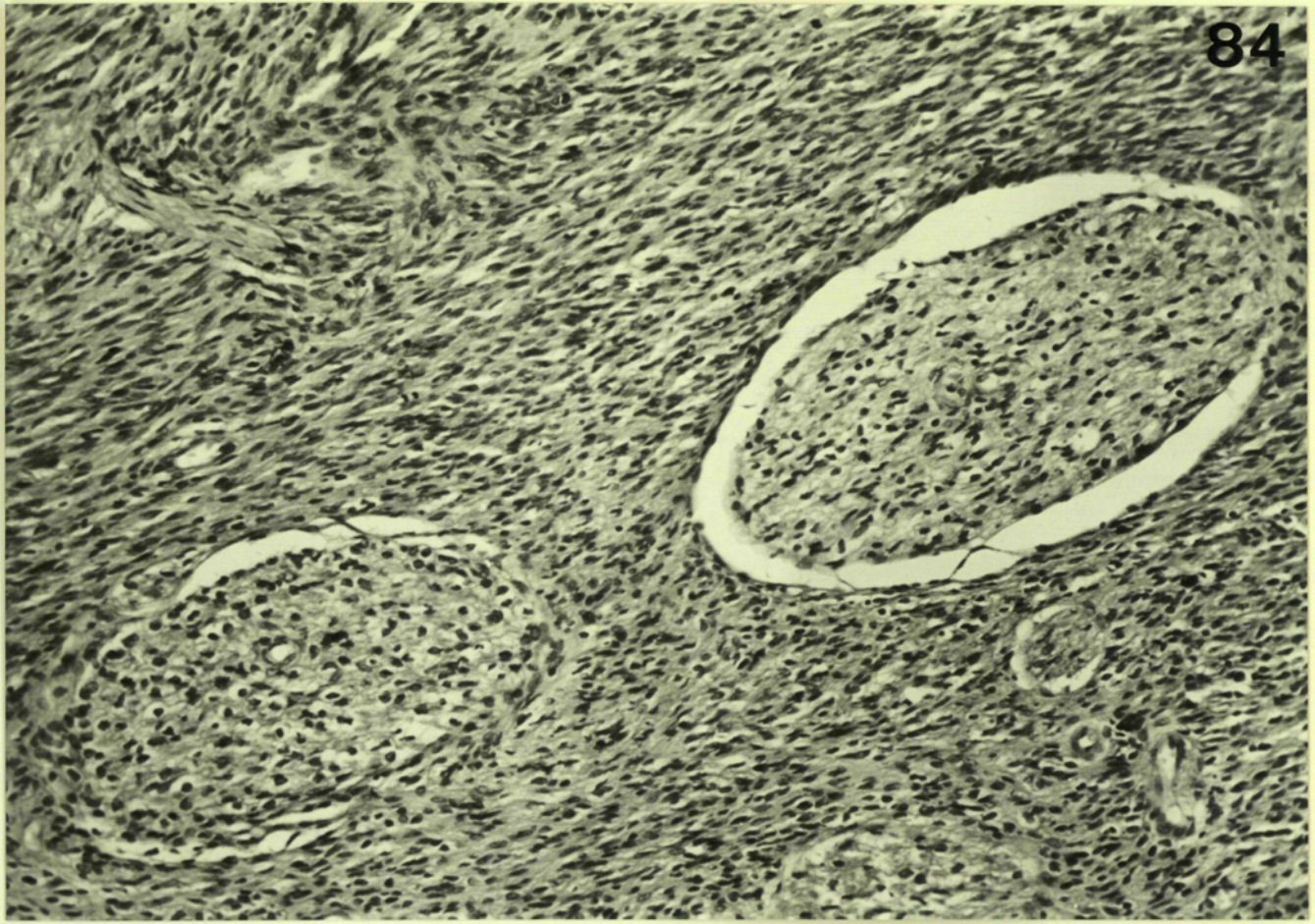


Fig.86:

Varias secciones de un nervio de trayecto ondulante ,
uno de cuyos segmentos presenta un aumento del grosor
por proliferación celular intraneural.

Fig.87:

Estructura plexiforme de gran tamaño, muy distorsiona-
da en un tumor del V par craneal.

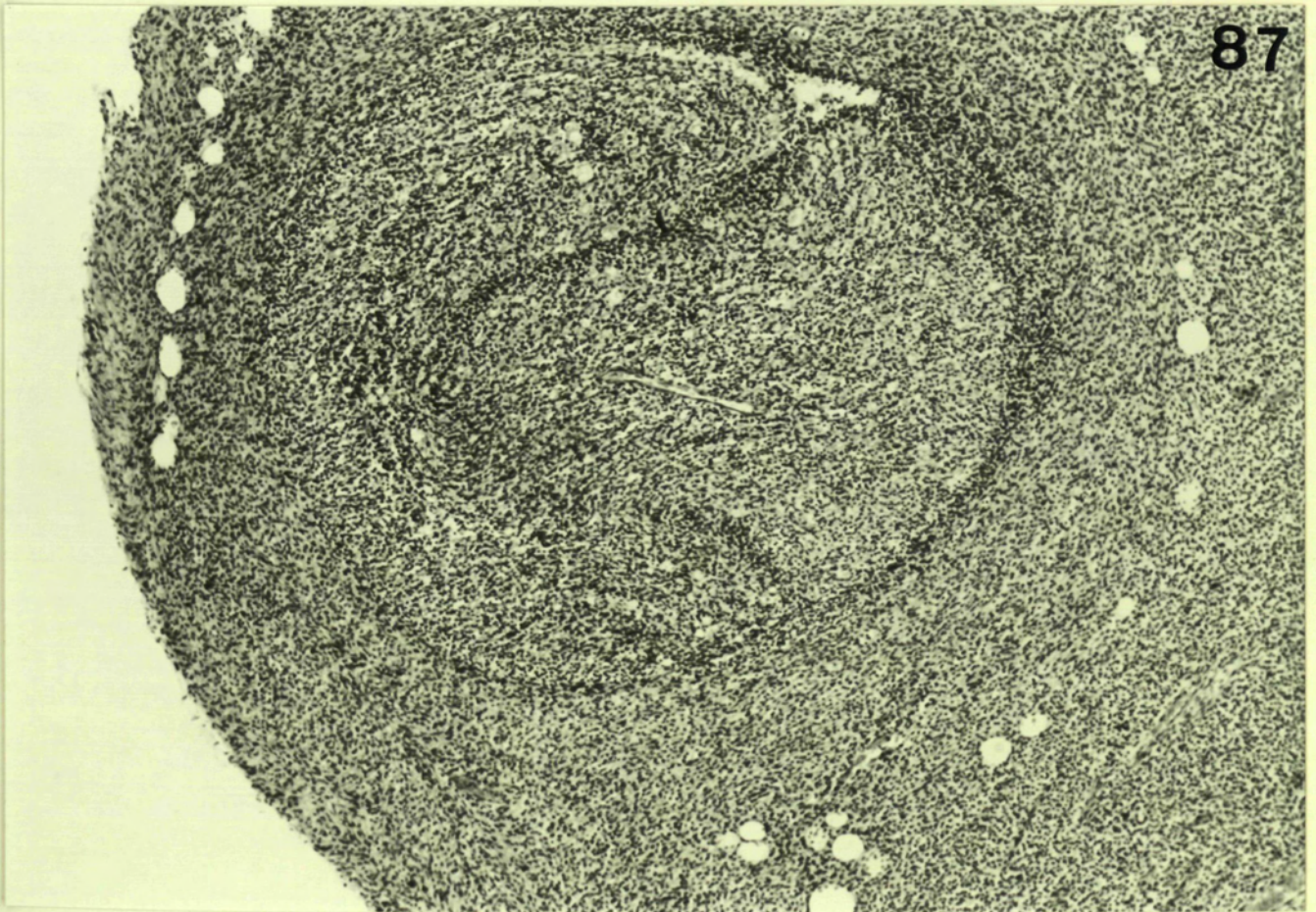
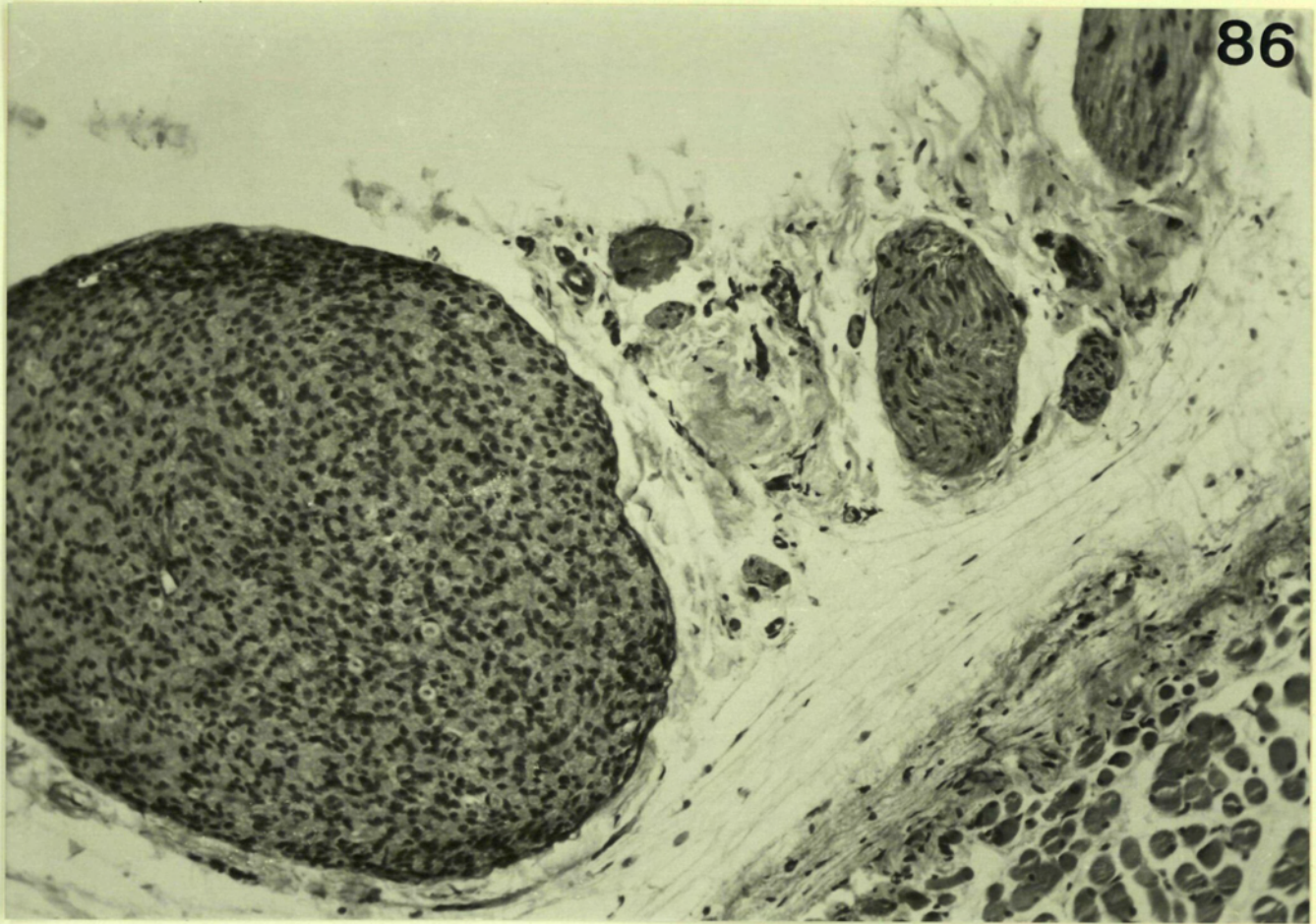


Fig.88:

Estructuras plexiformes en un tumor nervioso espinal.
Corresponden a raíces espinales con cambios proliferativos, invadidas por la neoplasia.

Fig.89:

Estructuras plexiformes en un ganglio sensitivo infiltrado por un tumor de vainas nerviosas periféricas.

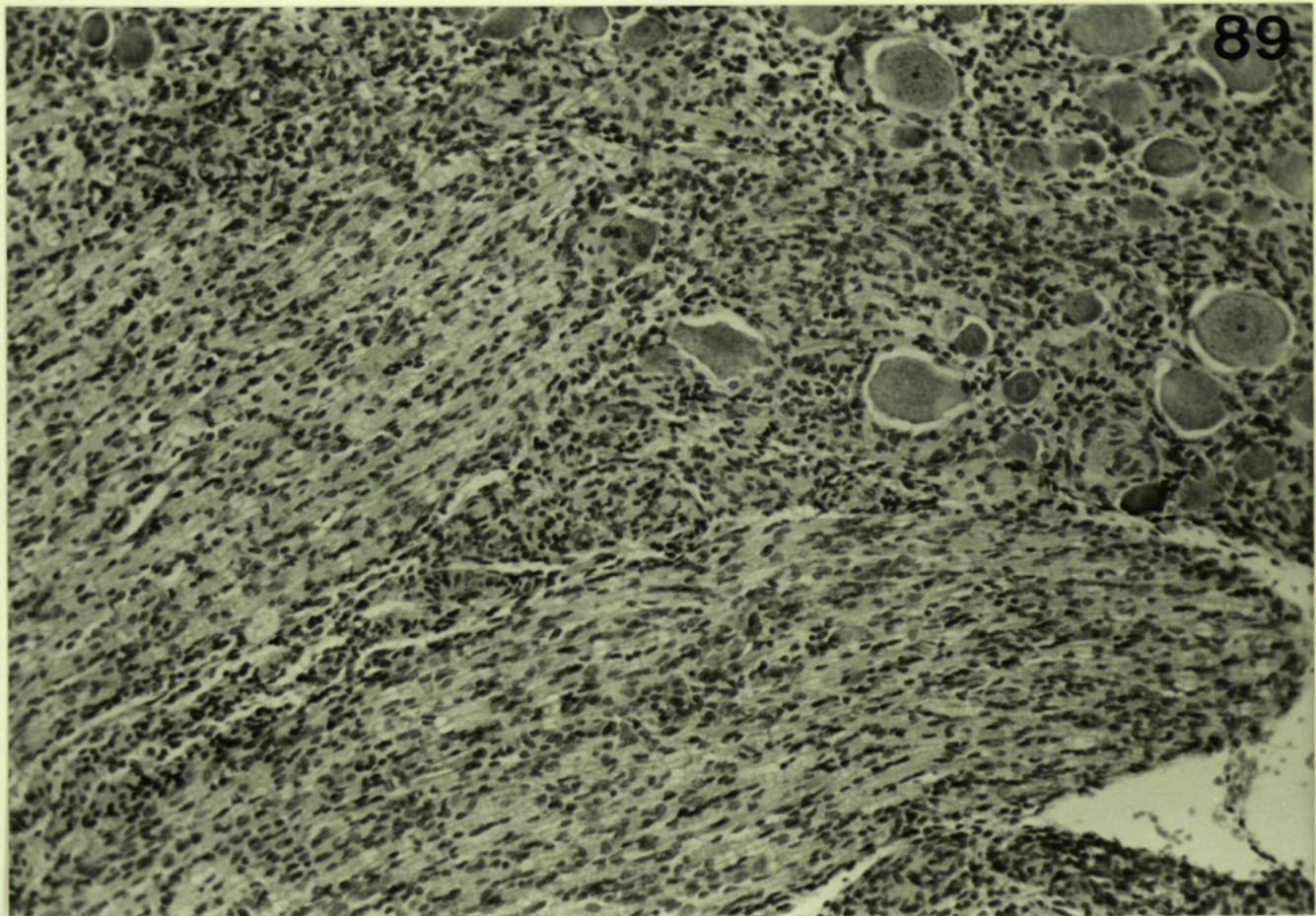
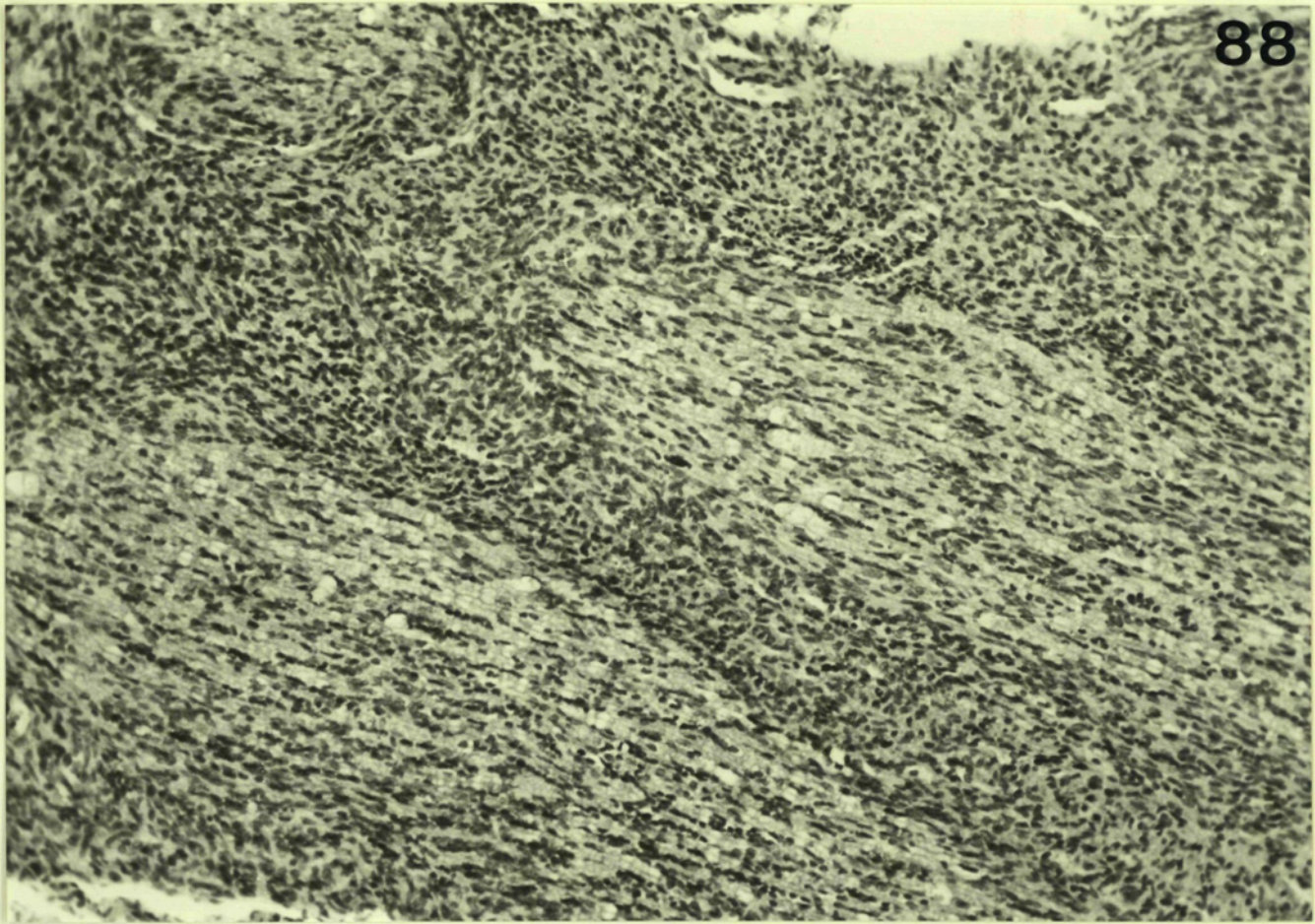


Fig.90:

Tumor de Wilms. Parenquima renal rechazado por una neoplasia que forma nidos y cordones.

Fig.91:

Aspecto histológico de un área del caso anterior en que se observan formaciones tubulares bien constituidas y estructuras glomeruloides aberrantes en el seno de una proliferación celular de aspecto blástico.

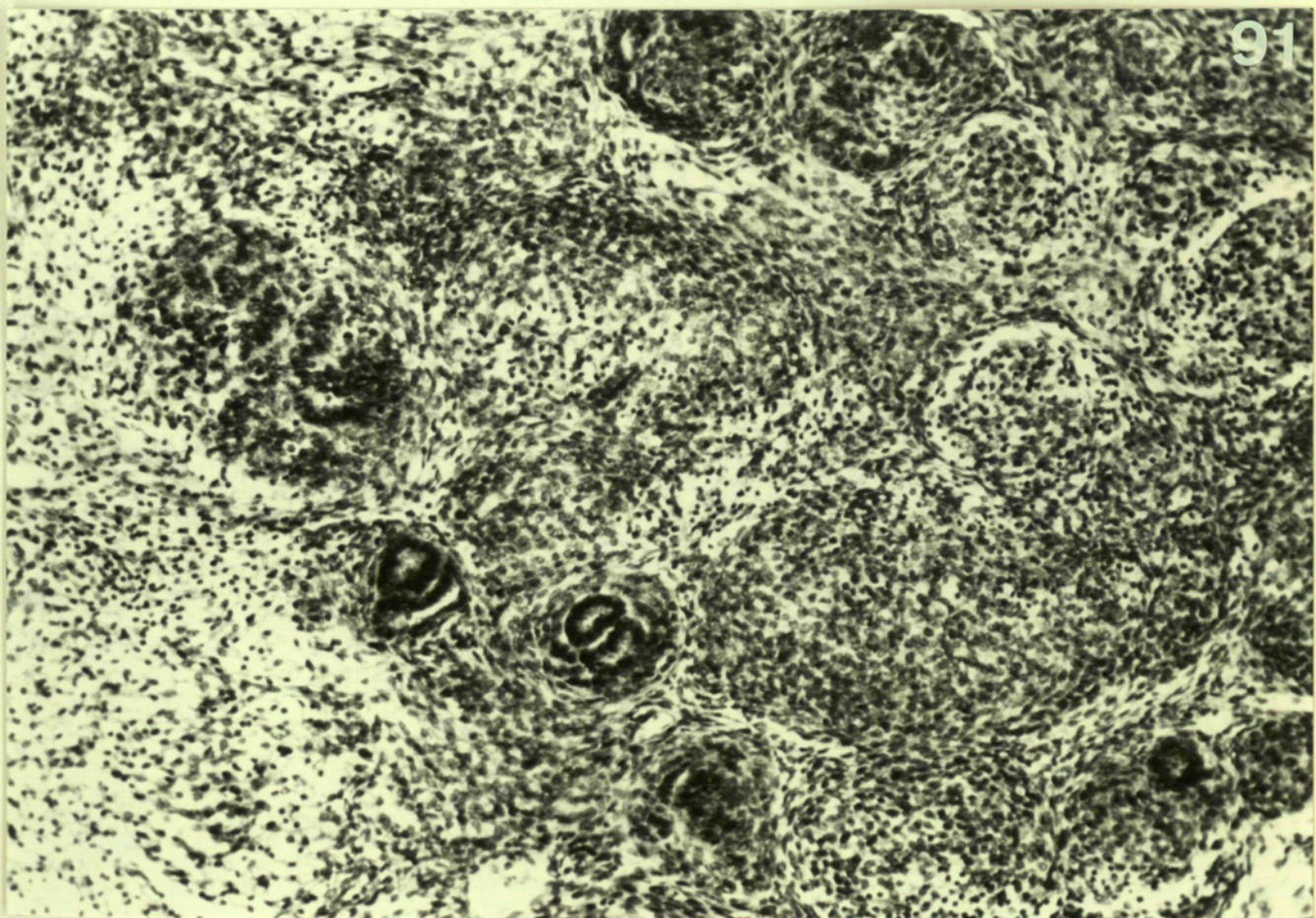
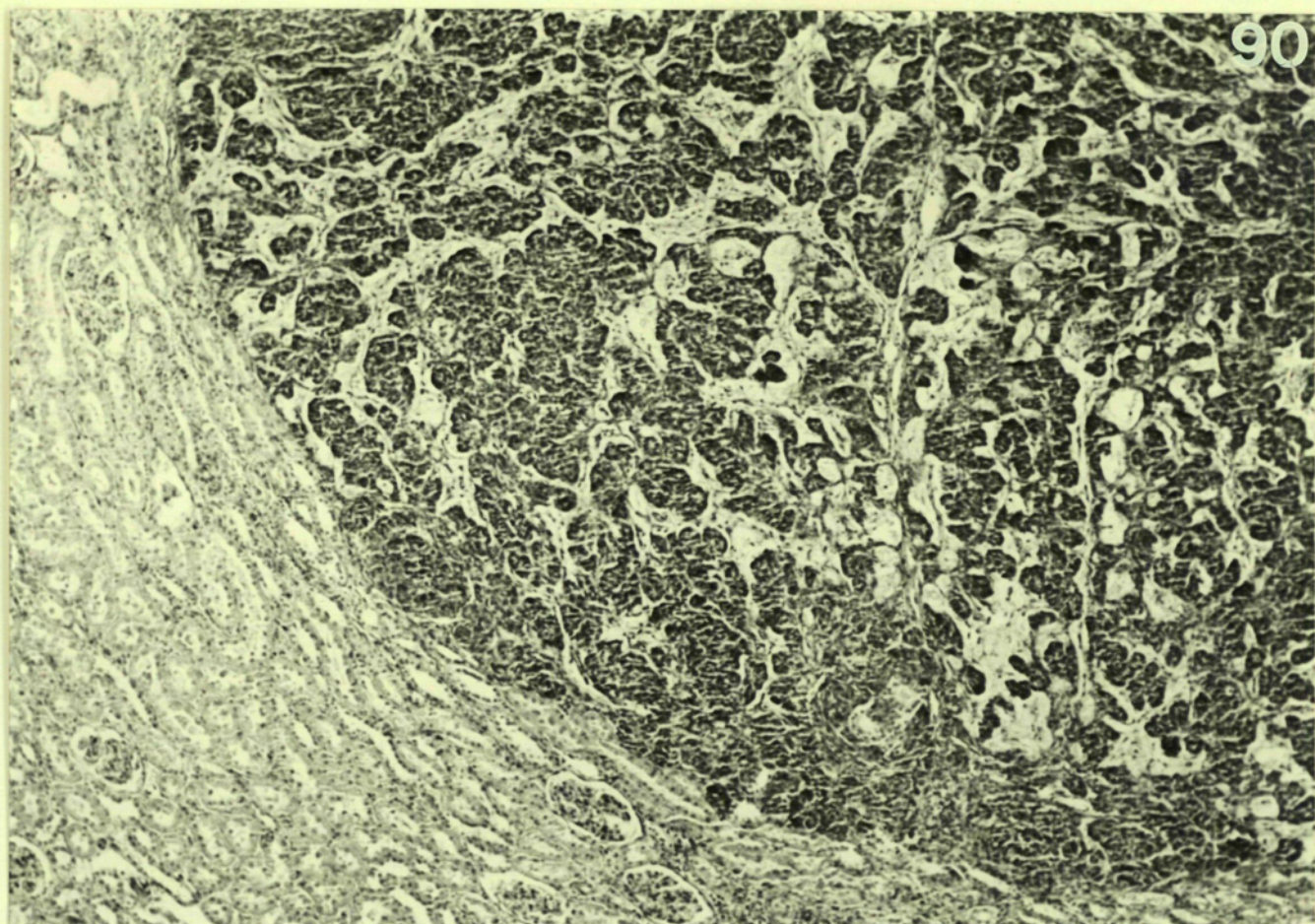


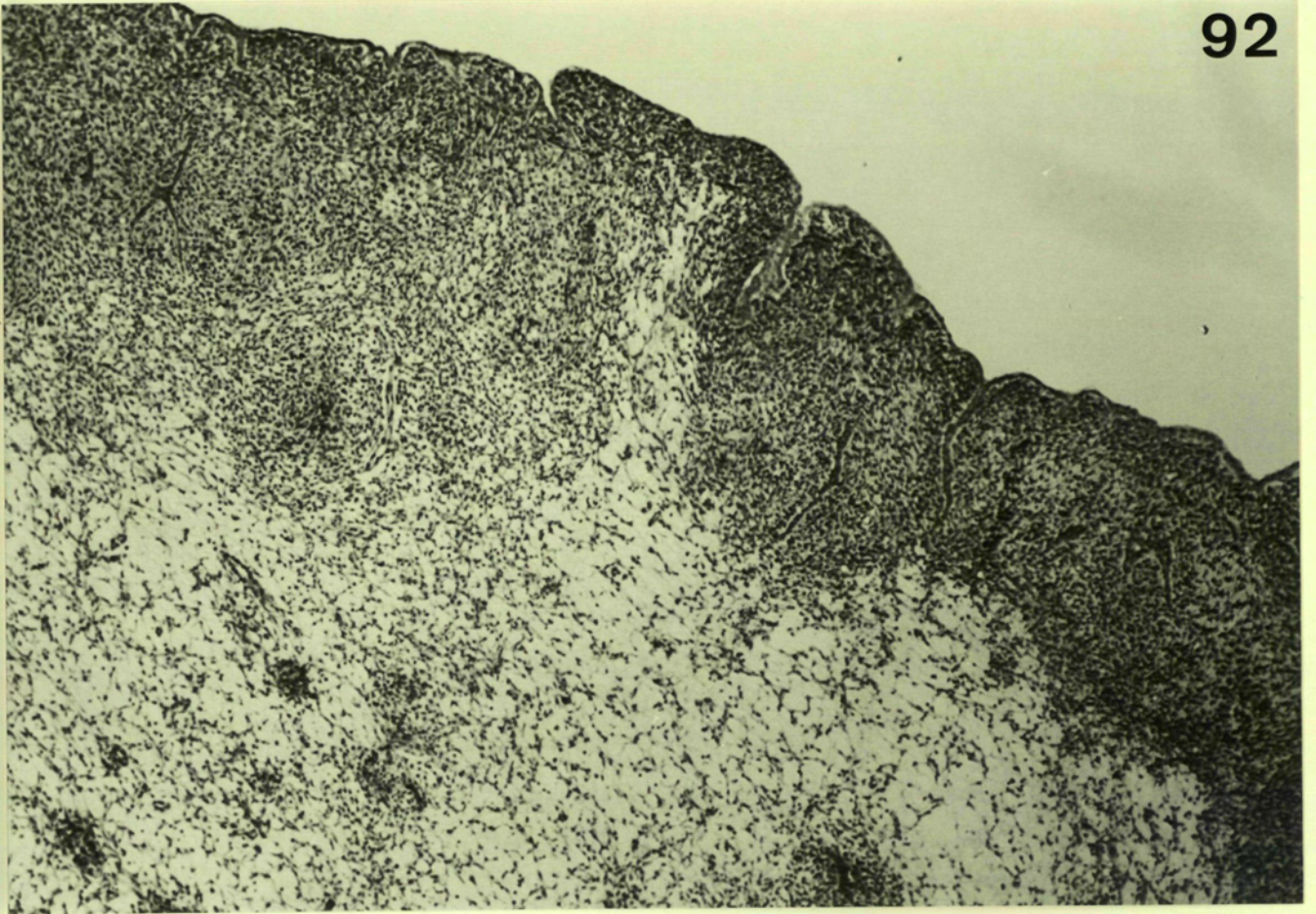
Fig.92:

Area rabdomiosarcomatosa de un tumor de Wilms. Puede apreciarse la existencia de una banda celular densa situada inmediatamente por debajo de la superficie mucosa pélvica.

Fig.93:

Detalle de las células tumorales de las áreas mixoides del caso anterior.

92



93

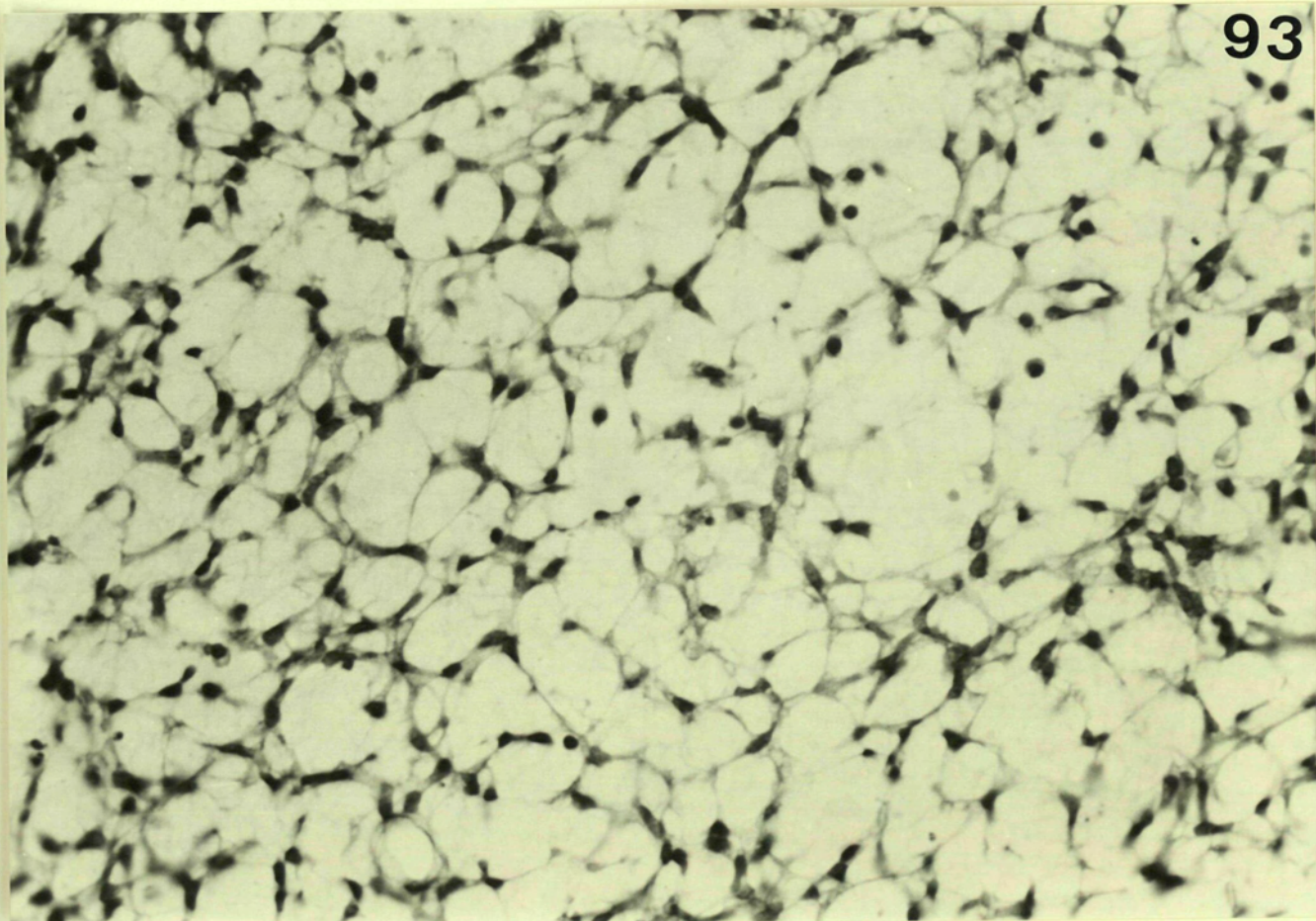


Fig.94:

Area cerebral adyacente a un glioma con intensa gliosis reactiva. Los astrocitos muestran marcados rasgos gemistocíticos.

Fig.95:

Detección de proteina ácida fibrilar glial por métodos inmunohistoquímicos, en el parénquima cerebral normal. Los astrocitos muestran una intensa positividad en el cuerpo y las prolongaciones.

